

Fig. 3

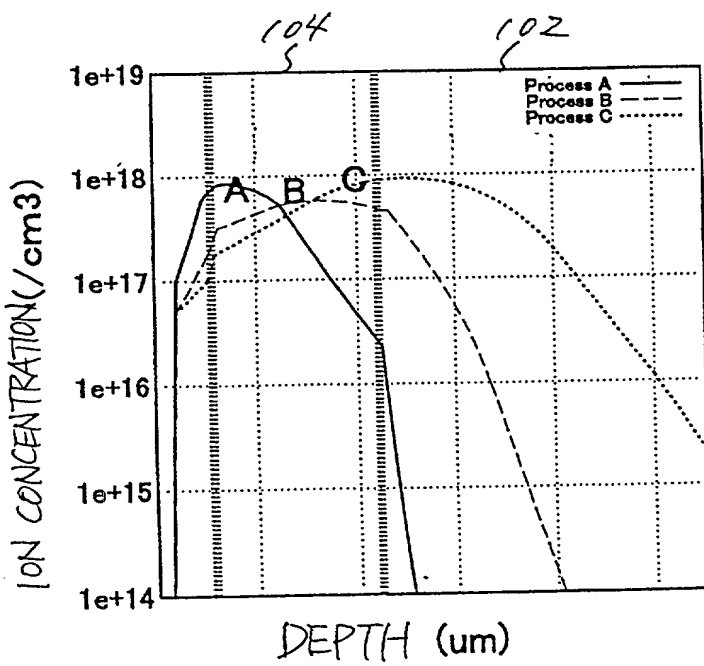


Fig. 4

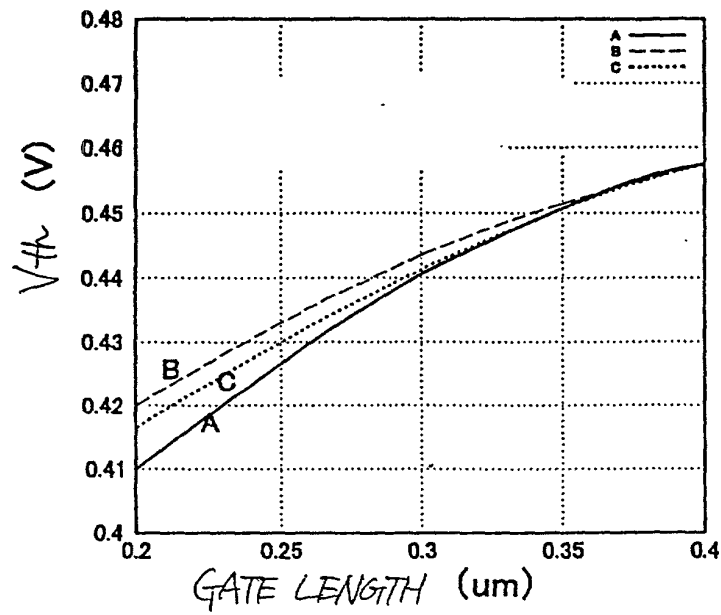


Fig-5

Fig. 6(a)

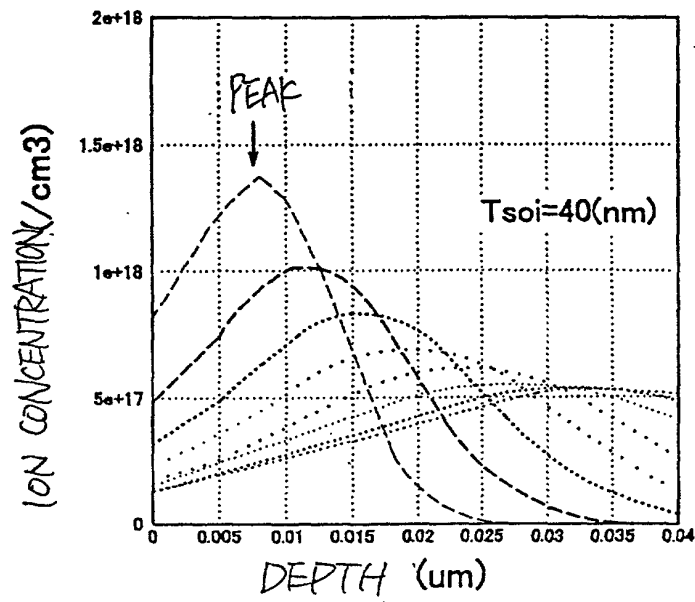


Fig. 6(b)

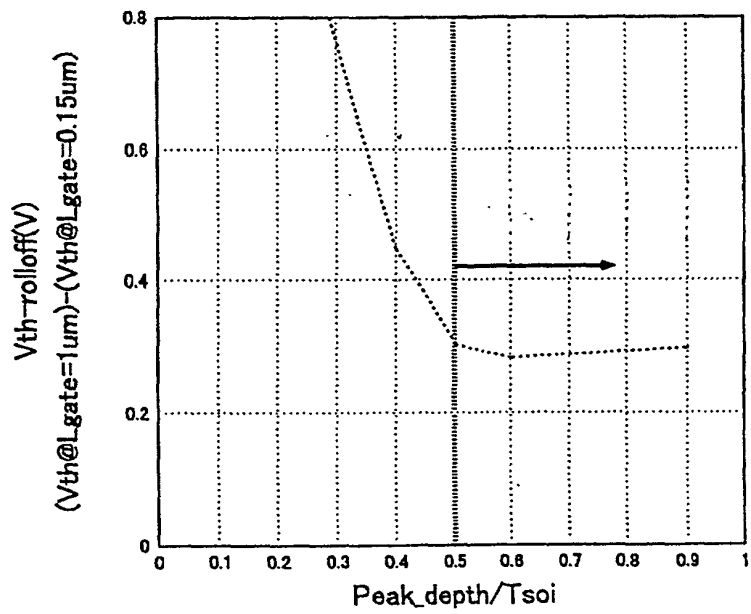


Fig. 7(a)

Y[ $\mu$ m]

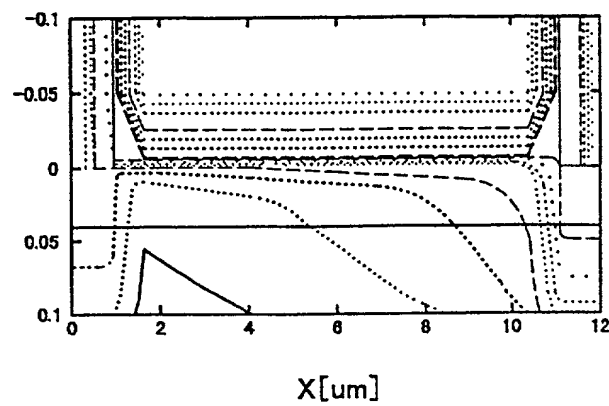
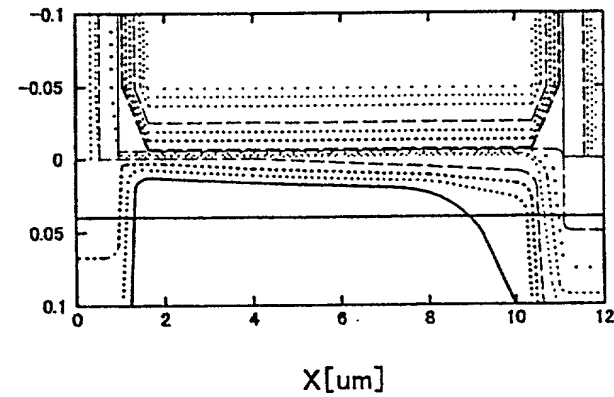
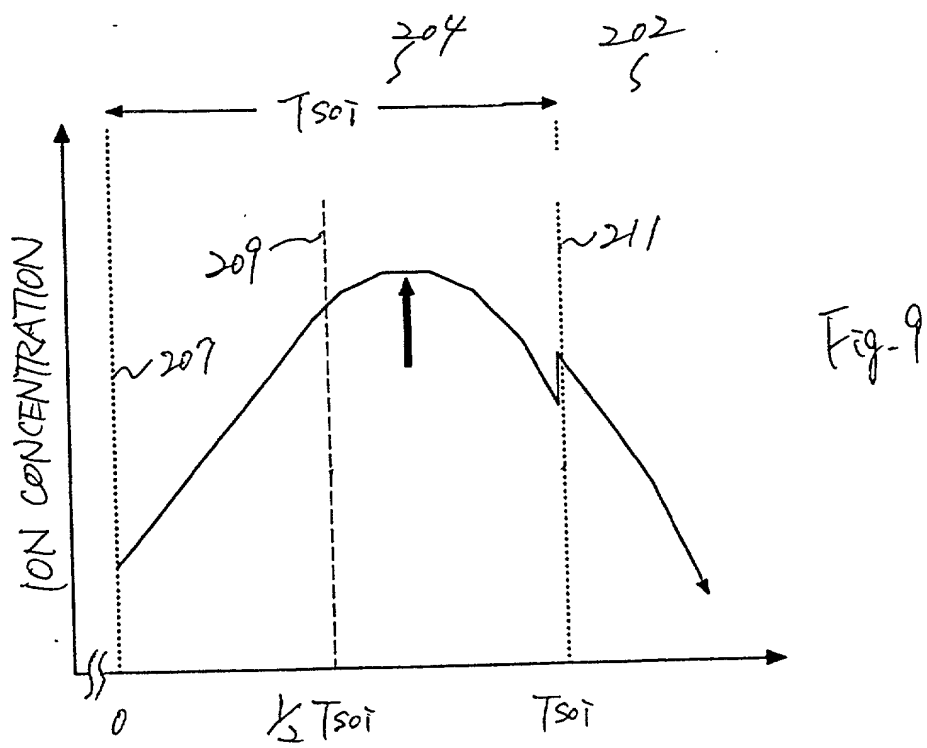
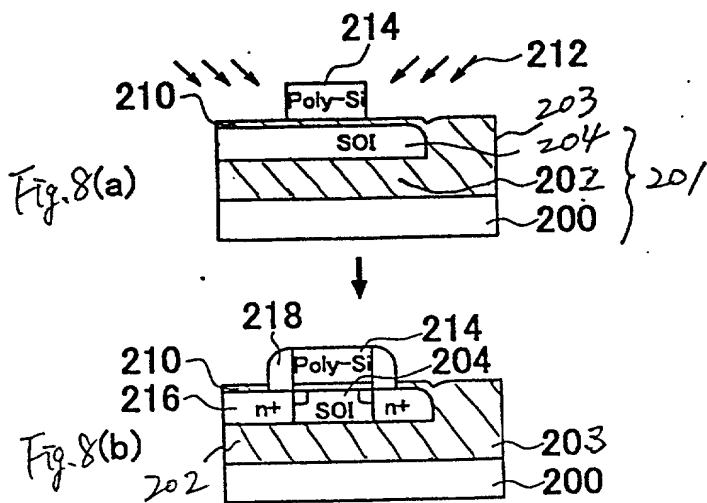
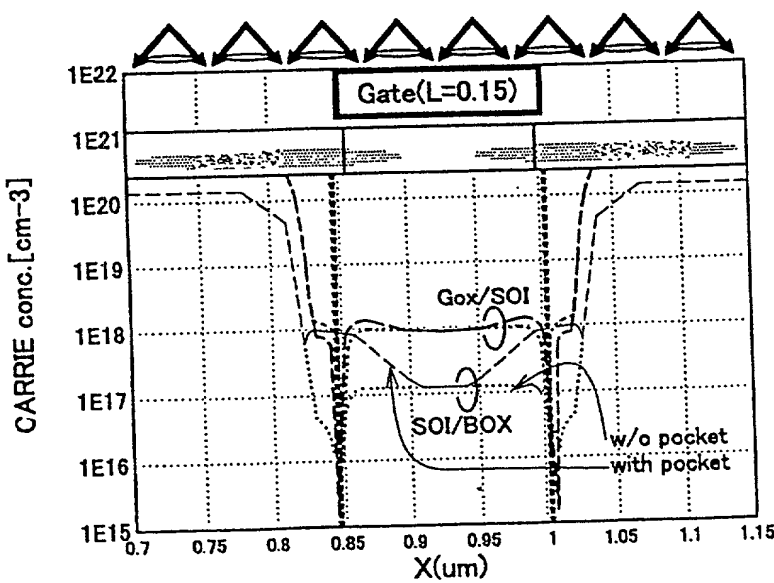
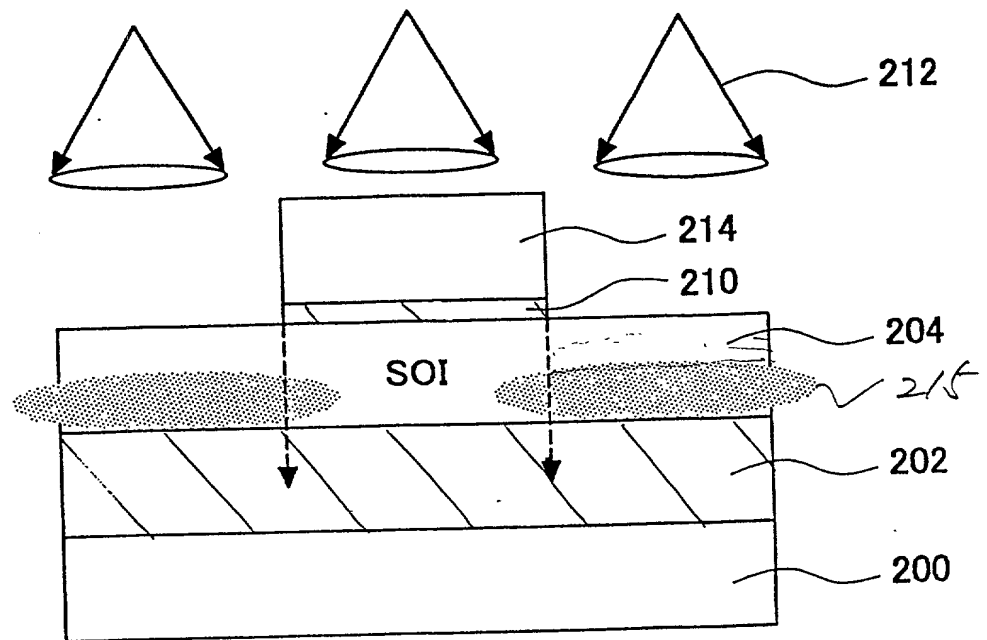


Fig. 7(b)

Y[ $\mu$ m]







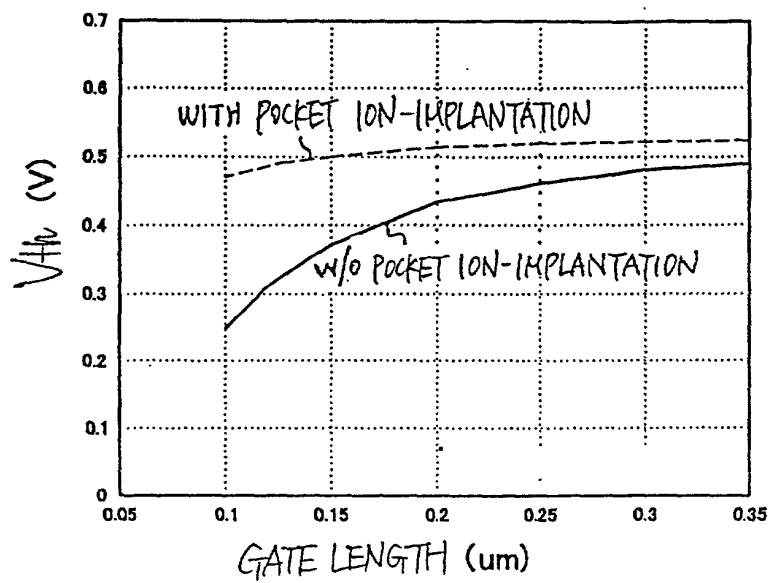
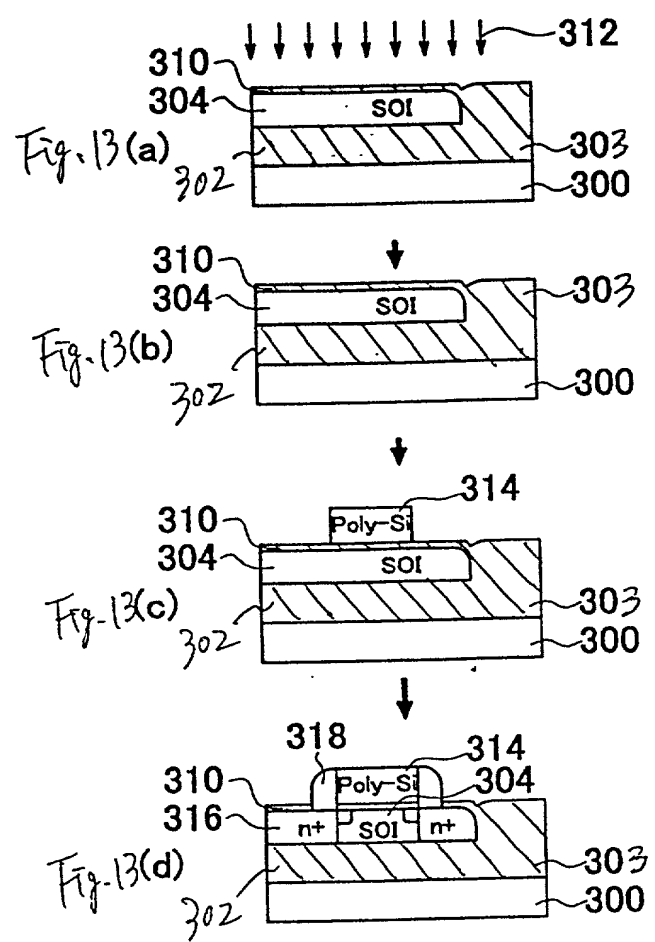


Fig-12



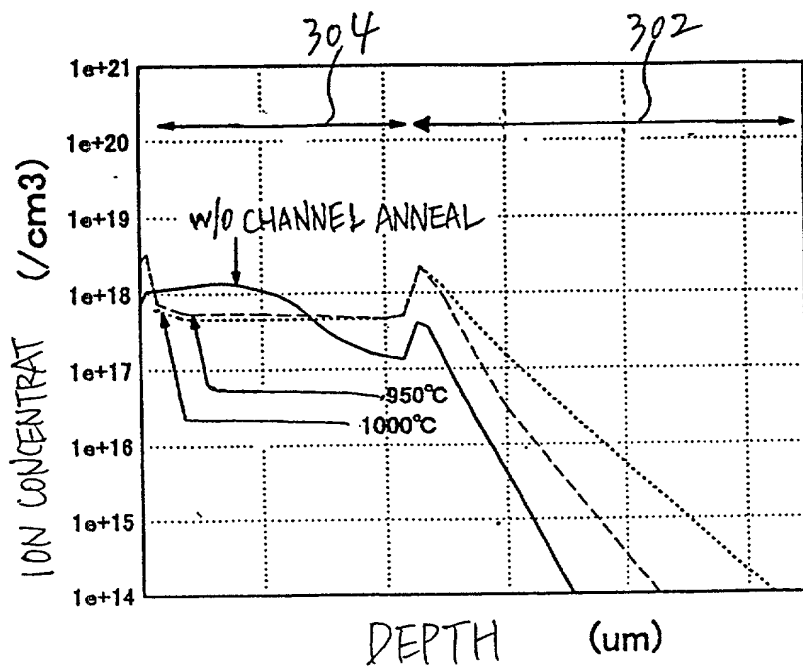


Fig. 14

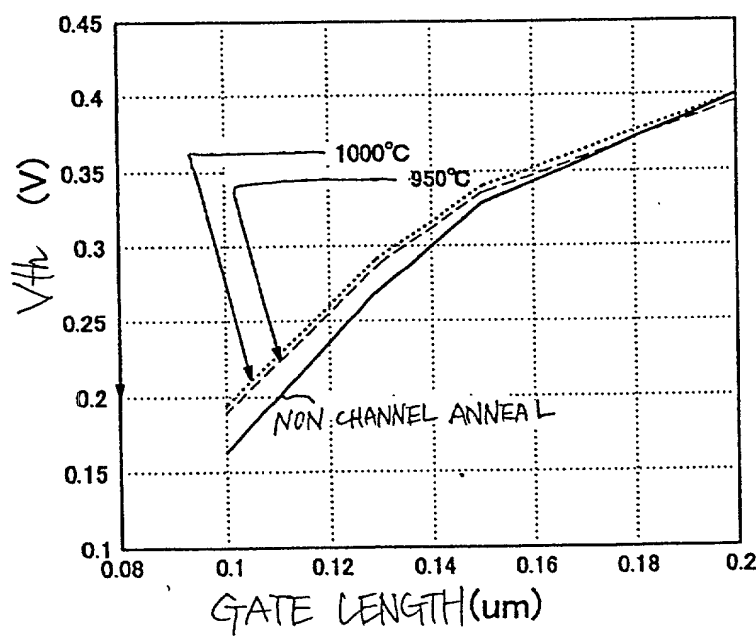


Fig. 15

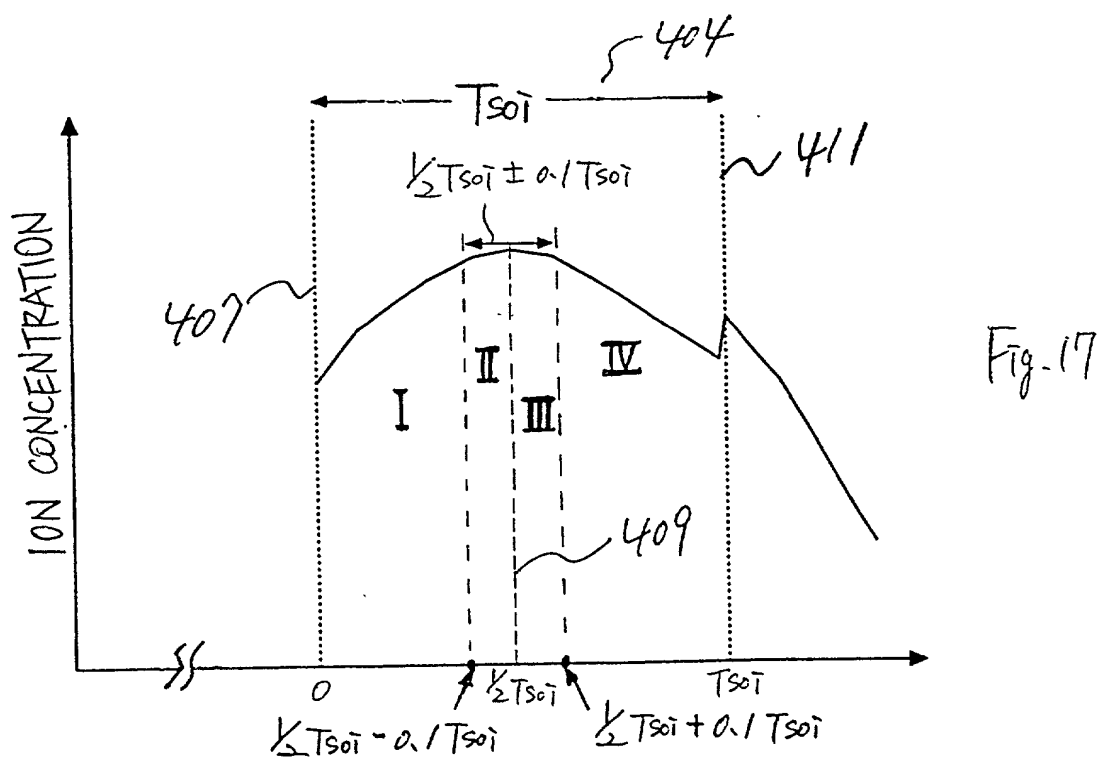
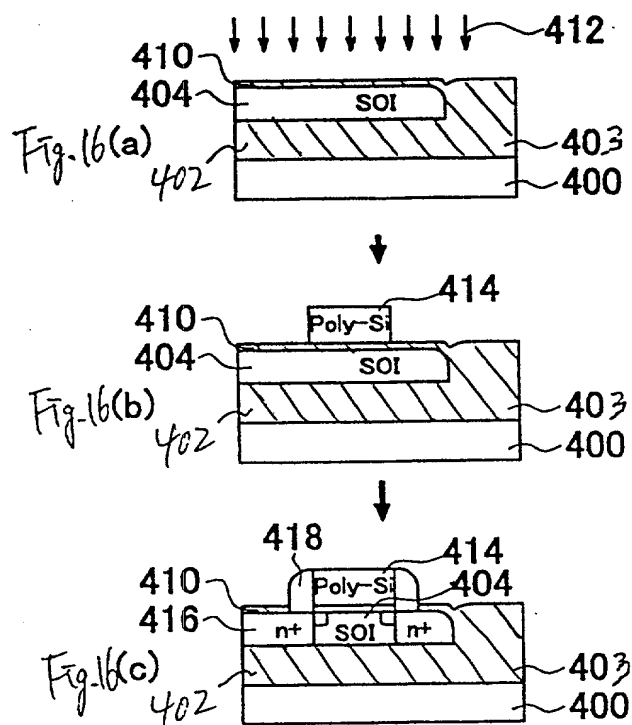


Fig. 18(a)

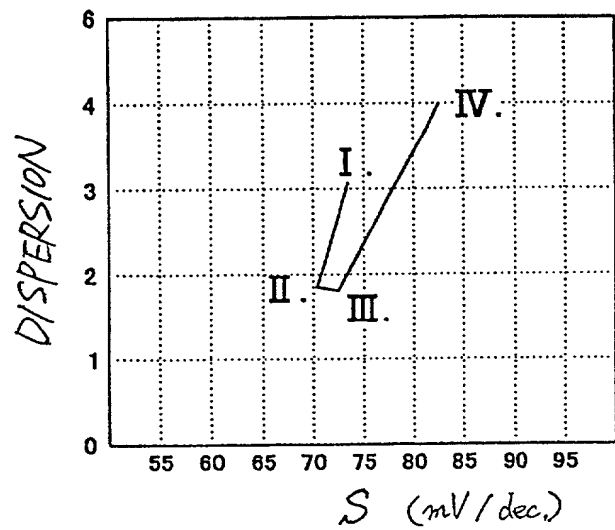
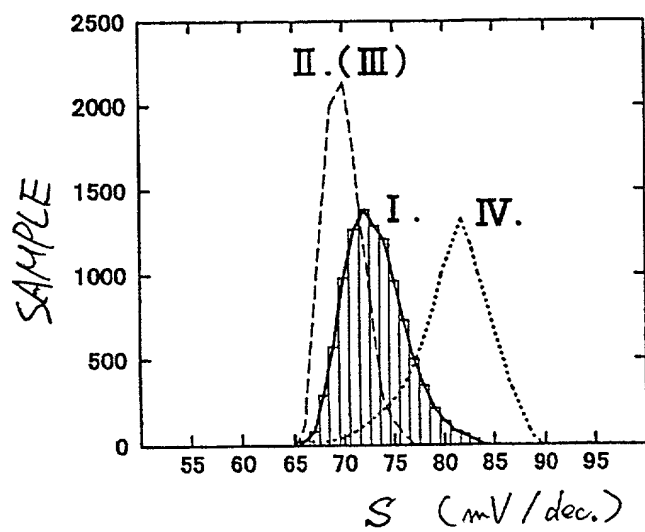
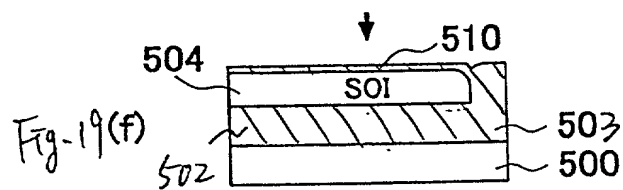
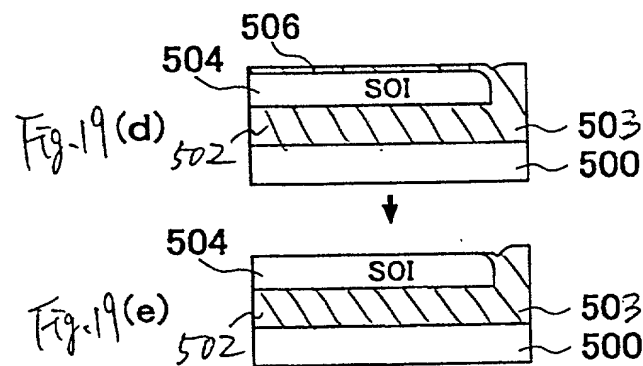
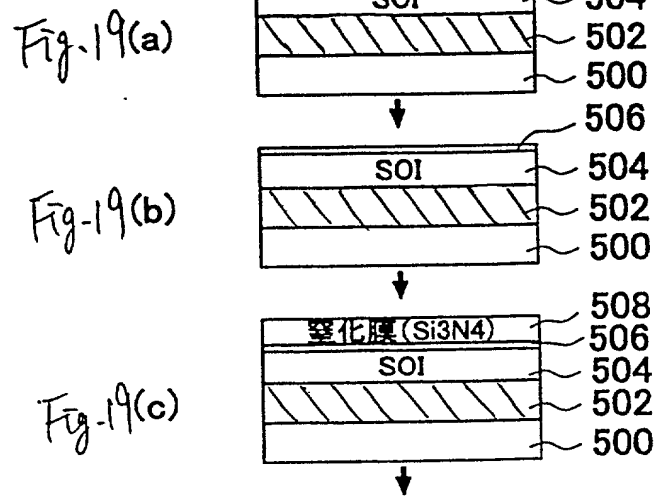


Fig. 18(b)





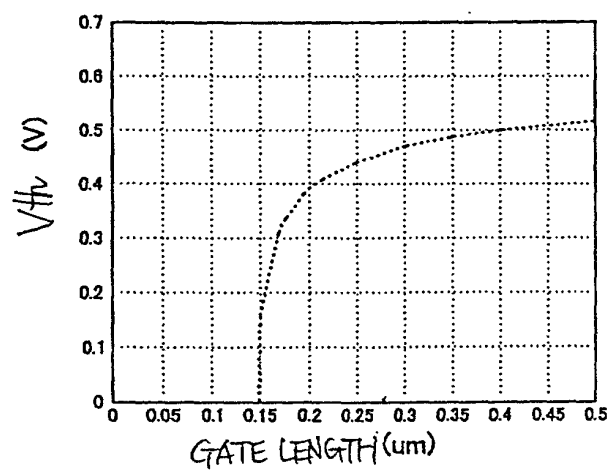
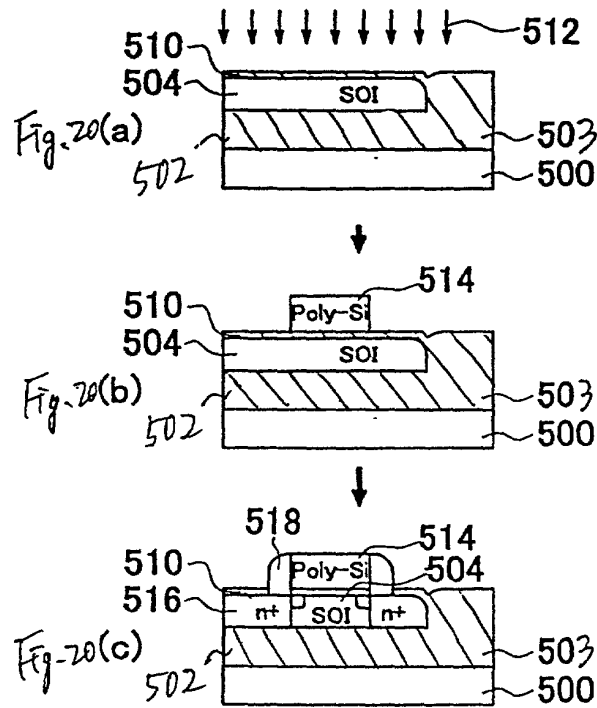


Fig. 21

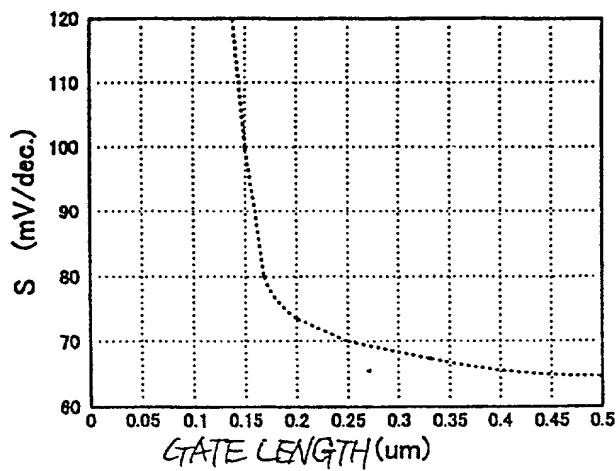


Fig-22

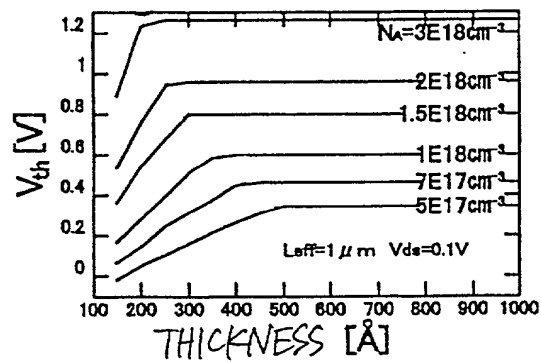


Fig-23(a)

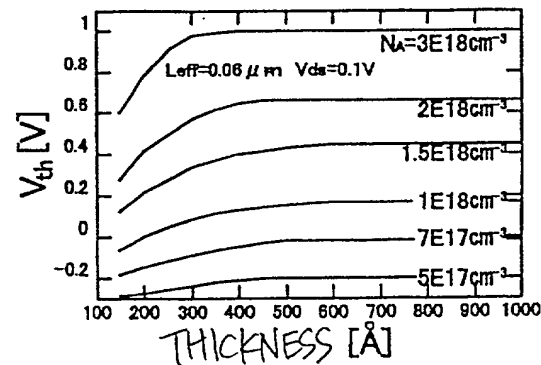


Fig-23(b)